

(т. е. окрестность  $T_c$ , где наблюдаются индексы, вычисленные в ФТ, типа (7)), как, например, это имеет место для некоторых примесных изинговских магнетиков [11], то в такой области должны наблюдаться асимпто-тики типа (11).

Автор выражает признательность А. Л. Корженевскому за полезное обсуждение результатов работы.

### Список литературы

- [1] Sasvari L., Tadić B. // Z. Phys. B. 1981. V. 43. N 2. P. 163–172.
- [2] Корженевский А. Л., Лужков А. А. // ФТТ. 1987. Т. 29. № 2. С. 351–355.
- [3] Корженевский А. Л., Лужков А. А. // ФТТ. 1987. Т. 29. № 3. С. 787–789.
- [4] Лейбфрид Г., Брайер Н. Точечные дефекты в металлах. М., 1981. 439 с.
- [5] Фридель Ж. Дислокации. М., 1967. 648 с.
- [6] Дороговцев С. Н. // ЖЭТФ. 1981. Т. 80. № 5. С. 2053–2067.
- [7] Гинзбург С. Л. // ЖЭТФ. 1975. Т. 68. № 1. С. 273–286.
- [8] Ма Ш. Современная теория критических явлений. М., 1980. 298 с.
- [9] Mayer I. O. // J. Phys. A. 1989. V. 22. N 14. P. 2815–2823.
- [10] Лужков А. А. // ФТТ. 1989. Т. 31. № 7. С. 113–115.
- [11] Thurston T. R., Peter C. J., Birgeneau R. J., Horn P. M. // Phys. Rev. B. 1988. V. 37. N 16. P. 9559–9563.

Ленинградский  
электротехнический институт  
им. В. И. Ульянова (Ленина)

Поступило в Редакцию  
23 ноября 1989 г.  
В окончательной редакции  
23 февраля 1990 г.

УДК 548 : 537.611

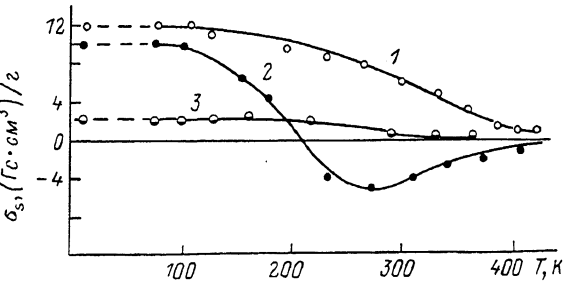
© Физика твердого тела, том 32, № 8, 1990  
Solid State Physics, vol. 32, N 8, 1990

## НАМАГНИЧЕННОСТЬ И МАГНИТНАЯ АНИЗОТРОПИЯ Bi—Ca—V ГРАНАТОВ, ЗАМЕЩЕННЫХ ИОНАМИ Sc<sup>3+</sup>

*К. П. Белов, Н. В. Волкова, Л. Ю. Мурашова, Л. А. Скунстрова*

Благодаря высокой магнитооптической добротности в видимом и ближнем инфракрасном диапазонах висмут-ванадий-кальциевые гранаты могут широко использоваться в качестве носителей информации в магнитооптических управляемых транспарантах [1, 2]. Вместе с тем добавка оксида скандия к висмут-ванадий-кальциевым ферритам-гранатам может привести дополнительно к изменению намагниченности

Рис. 1. Зависимость спонтанной намагниченности  $\sigma_s$  от температуры для системы  $\text{Bi}_{0.4}\text{Ca}_{2.6}\text{V}_{1.3}\text{Fe}_{3.7-x}\text{Sc}_x\text{O}_{12}$ .



и анизотропии этих ферритов, а также и к увеличению быстродействия ЭВМ. Из-за единственной в своем роде комбинации низкой анизотропии и низкой намагниченности эти гранаты полезны также в качестве изоляторов для мазеров [3]. Тем не менее, несмотря на большое практическое значение, висмут-кальций-ванадиевые гранаты, замещенные ионами  $\text{Sc}^{3+}$ , до сих пор не изучены.

Данная работа предпринята с целью исследования влияния ионов  $\text{Sc}^{3+}$  на магнитную анизотропию, намагниченность Bi—Ca—V гранатов. Из-

мерения магнитных свойств проводились от температуры жидкого азота до температуры Кюри на трех монокристаллах системы  $\text{Bi}_{0.4}\text{Ca}_{2.6}\text{V}_{1.3}\text{Fe}_{3.7-x}\text{Sc}_x\text{O}_{12}$ , где  $x=0.0, 0.2, 1.0$ .

На рис. 1 представлены кривые температурной зависимости спонтанной намагниченности  $\sigma_s$  висмутовых ферритов-гранатов для составов  $x=0.0$  (1),  $0.2$  (2),  $1.0$  (3). Для кристаллов  $\text{Bi}_{0.4}\text{Ca}_{2.6}\text{V}_{1.3}\text{Fe}_{3.7}\text{O}_{12}$  и  $\text{Bi}_{0.4}\text{Ca}_{2.6}\text{V}_{1.3}\text{Fe}_{2.7}\text{Sc}_{1.0}\text{O}_{12}$  кривые имеют нормальный вид, т. е.  $Q$ -тип по теории Нееля. Следует особо обратить внимание на то, что кривая  $\sigma_s(T)$  для кристалла  $\text{Bi}_{0.4}\text{Ca}_{2.6}\text{V}_{1.3}\text{Fe}_{3.5}\text{Sc}_{0.2}\text{O}_{12}$  характеризуется наличием точки компенсации при  $T \approx 200$  К.

Экспериментальные и теоретические значения магнитных моментов, значения первой константы магнитной анизотропии  $K_1$  и температуры Кюри  $T_c$  для образцов системы  $\text{Bi}_{0.4}\text{Ca}_{2.6}\text{V}_{1.3}\text{Fe}_{3.7-x}\text{Sc}_x\text{O}_{12}$

$x$	$\sigma_s$ эксп., $\mu_B$	$\sigma_{\text{теор.}}$ , $\mu_B$	$K_1$ , эрг/см <sup>3</sup> при 130 К	$T_c$ , К
0.0	1.0	1.5	$-6.7 \cdot 10^3$	430
0.2	0.85	0.5	$-5.2 \cdot 10^3$	400
1.0	0.2	-3.5	$-0.9 \cdot 10^3$	300

В работе [4] было дано следующее катионное распределение для образцов исследуемой системы  $\{\text{Bi}^{3+}\text{Ca}^{2+}\}_{x} [\text{Fe}^{3+}\text{V}^{5+}]_{1.7}\text{V}_{1.3} [\text{Fe}^{3+}_{2-x}\text{Sc}^{3+}_x]\text{O}_{12}$ , т. е. ионы  $\text{Sc}^{3+}$  расположены в октаэдрической подрешетке. На основании теории Нееля и того факта, что магнитными ионами в данных соединениях являются только ионы  $\text{Fe}^{3+}$ , мы подсчитали теоретические значения магнитных моментов исследуемых ферритов. Теоретические значения  $\sigma_{\text{теор.}}$

и экспериментальные данные спонтанной намагниченности  $\sigma_s$  в зависимости от состава гранатов  $\text{Bi}_{0.4}\text{Ca}_{2.6}\text{V}_{1.3}\text{Fe}_{3.7-x}\text{Sc}_x\text{O}_{12}$  представлены в таблице. Видно, что при больших концентрациях ион-

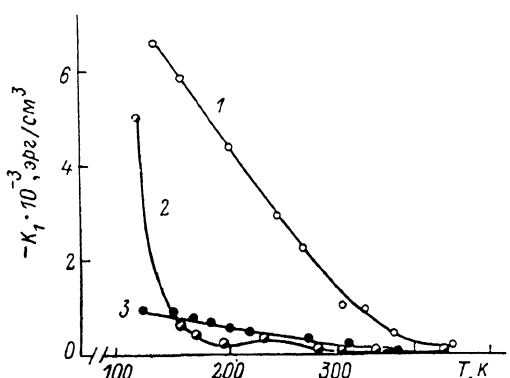


Рис. 2. Зависимость первой константы магнитной анизотропии  $K_1$  ферритов-гранатов  $\text{Bi}_{0.4}\text{Ca}_{2.6}\text{V}_{1.3}\text{Fe}_{3.7-x}\text{Sc}_x\text{O}_{12}$  от температуры.

х: 1 — 0.0, 2 — 0.2, 3 — 1.0.

нов  $\text{Sc}^{3+}$  наблюдается расхождение между экспериментальными и теоретическими значениями магнитных моментов, а именно экспериментальное значение намного больше теоретического. Для объяснения этого факта мы предполагаем, что у кристалла с  $x=1.0$  часть ионов  $\text{Sc}^{3+}$  переходит в тетраэдрическую подрешетку, а это приводит к увеличению общей намагниченности. Таким образом, катионное распределение для этого кристалла можно записать следующим образом:  $\{\text{Bi}^{3+}\text{Ca}^{2+}\}_{x} [\text{Fe}^{3+}_{1.33}\text{V}^{5+}_{1.3}\text{Sc}^{3+}_{0.37}] (\text{Fe}^{3+}_{0.67}\text{Sc}^{3+}_{0.63})\text{O}_{12}$ .

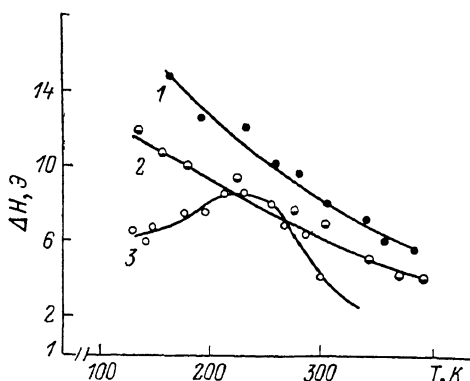
Проведены измерения температурных зависимостей первой  $K_1$  и второй  $K_2$  констант магнитной анизотропии. Для всех составов первая и вторая константы анизотропии отрицательны и уменьшаются по абсолютной величине с увеличением температуры. У кристалла  $\text{Bi}_{0.4}\text{Ca}_{2.6}\text{V}_{1.3}\text{Fe}_{3.7}\text{O}_{12}$  вторая константа  $K_2$  меняет знак при  $T \approx 250$  К. На рис. 2 приведена температурная зависимость  $K_1(T)$  для исследуемых образцов. Таким образом, введение ионов  $\text{Sc}^{3+}$  приводит к уменьшению значения  $|K_1|$  в области низких температур.

В таблице приведена концентрационная зависимость первой константы магнитной анизотропии  $K_1$  при температуре 130 К. Мы получили, что эта зависимость носит линейный характер, и поэтому можно предположить, что анизотропия описывается одноионной моделью. Концентрационная зависимость температуры Кюри  $T_c$  (см. таблицу) ведет себя также линейным образом, и значения температуры Кюри уменьшаются с увеличением концентрации ионов  $\text{Sc}^{3+}$ .

Для всех трех образцов были исследованы ширины резонансных линий в зависимости от температуры  $\Delta H$  ( $T$ ). На рис. 3 представлена зависимость  $\Delta H$  ( $T$ ) для  $\text{Bi}_{0.4}\text{Ca}_{2.6}\text{V}_{1.3}\text{Fe}_{3.5}\text{Sc}_{0.2}\text{O}_{12}$ . Ширина резонансной линии  $\Delta H_{111}$  в исследуемых ферритах порядка 10 Э, что свидетельствует о том, что единственными магнитными ионами в них являются ионы  $\text{Fe}^{3+}$ . В температурном интервале

Рис. 3. Зависимость ширины резонансных линий от температуры и ориентации кристалла  $\text{Bi}_{0.4}\text{Ca}_{2.6}\text{V}_{1.3}\text{Fe}_{3.5}\text{Sc}_{0.2}\text{O}_{12}$ .

1 —  $\Delta H_{100}$ , 2 —  $\Delta H_{110}$ , 3 —  $\Delta H_{111}$ .



120—300 К  $\Delta H$  увеличивается при понижении температуры, оставаясь всюду минимальной при намагничивании кристалла вдоль оси [111] и максимальной при намагничивании кристалла вдоль оси [100]. На кривых  $\Delta H$  ( $T$ ) для всех составов наблюдаются максимумы  $\Delta H_{111}$ . Мы предполагаем, что аномалия  $\Delta H_{111}$  ( $T$ ) может быть объяснена механизмом медленной релаксации ионов  $\text{Fe}^{3+}$ .

Таким образом, на основании полученных нами результатов можно сделать следующие выводы.

1. Введение ионов  $\text{Sc}^{3+}$  в  $\text{Bi}$ -содержащие гранаты приводит к уменьшению как намагченности, так и анизотропии.

2. Из сравнения экспериментальных и теоретических значений магнитных моментов предполагается, что при больших концентрациях ионов  $\text{Sc}^{3+}$  часть из них занимает тетраэдрические места.

3. Аномалии  $\Delta H_{111}$  ( $T$ ) объясняются наличием медленно релаксирующих ионов  $\text{Fe}^{3+}$ .

#### Список литературы

- [1] Рандошкин В. В., Рыбак В. И., Сыгачев В. Б., Чайк В. И., Червоненкис А. Я. // Микроэлектроника. 1986. Т. 15. № 1. С. 16—24.
- [2] Васильева Н. В., Чайк В. И., Сыгачев В. П., Клин В. П., Кузнецов М. А., Рандошкин В. В., Червоненкис А. Я. // Тез. докл. XI Всес. школы-семинара «Новые магнитные материалы для микроэлектроники». Ташкент, 1988. Ч. 2. С. 30.
- [3] Nilsen W. G., Spencer E. G. // J. Appl. Phys. 1965. V. 36. P. 1616—1618.
- [4] Волкова Н. В., Португал О. Е., Чепарин В. П., Черкасов А. П. // ФТТ. 1974. Т. 16. № 5. С. 1536—1538.

Московский  
государственный университет  
им. М. В. Ломоносова

Поступило в Редакцию  
23 февраля 1990 г.